美国《Emerging Infectious Diseases》2021年第10期有关人兽共患病论文摘译

P2521　美国田纳西州新型冠状病毒肺炎死亡的特征、合并症和数据差异// John James Parker, Rany Octaria, Miranda D.Smith, et al

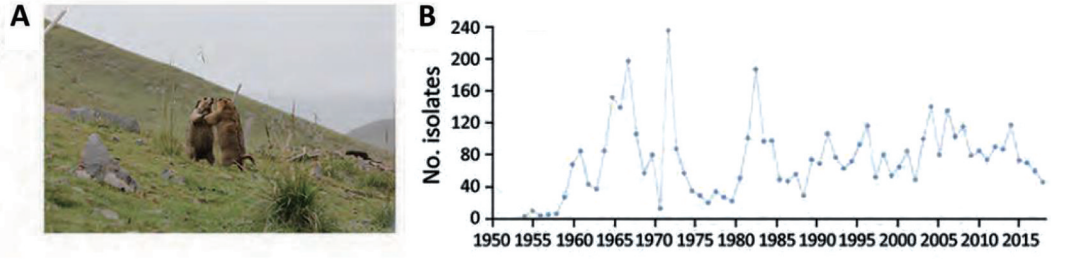
截至2021年3月，新型冠状病毒（COVID-19）已导致美国超过500 000人死亡，其中田纳西州的人均病例数排名高居第五位。我们回顾了田纳西州卫生部在2020年3月15日至8月15日期间的COVID-19监测数据及从其补充图表中提取的数据。与幸存的病例相比，死于COVID-19的患者更多是老年人、男性和黑人以及有潜在疾病（合并症）的人。我们查阅医疗记录发现30.4%的存活病例和20.3%的死亡患者没有合并症信息。至少有一种合并症的患者比例图表提取（96.3%）高于标准监测死亡（79.0%）。标准监测和图表提取得到的合并糖尿病患者的比例相近；其余每种合并症比例图表提取均高于标准监测。投资公共卫生数据收集基础设施将在COVID-19大流行和未来的疾病暴发中获益。

P2535　新型冠状病毒感染时胎龄与妊娠结局// DominiqueA.Badr, OlivierPicone, ElisaBevilacqua, et.al

为探索感染新型冠状病毒（SARS-CoV-2）时的胎龄对产科和新生儿结局的影响，我们开展了一项名为“PregOuTCOV”的国际多中心回顾性队列研究。我们纳入了所有妊娠结局已知的孕10周活胎的单胎妊娠的孕妇。感染SARS-CoV-2的孕妇纳入暴露组，同期的其余所有孕妇纳入非暴露组。主要结局定义为复合不良产科结局和复合不良新生儿结局。在10 925名孕妇中，有393人（3.60%）感染了SARS-CoV-2（暴露组）。在匹配可能的混杂因素后，我们发现暴露组妊娠大于20周时复合不良产科结局和妊娠大于26周时复合不良新生儿结局显著增加（$P<0.001$）。如果可能，应针对孕早期或孕前的女性制定疫苗接种计划。

P2544　1950－2019年中国4个旱獭鼠疫疫源地人类鼠疫病例和鼠疫耶尔森菌的分布和特征// Zhaokai He, Baiqing Wei, Yujiang Zhang, et al

我们分析了1950－2019年从中国4个旱獭鼠疫疫源地的人类、宿主动物和昆虫媒介中收集的1 067例人类鼠疫病例和5 958株鼠疫耶尔森菌的流行病学特征和分布。人类鼠疫病死率为68.88%；随着时间的推移总体缓慢下降趋势，但波动很大。大多数已鉴定出的人类病例（98.31%）和分离株（82.06%）来自喜马拉雅旱獭鼠疫重点地区。人类病例的趋势可以分为3个时期：1950－1969年、1970－2003年和2004－2019年。西伯利亚旱獭鼠疫疫源地自1926年以来尚未发现人类病例或分离株。然而，在其他3个疫源地，鼠疫耶尔森菌继续在动物宿主之间传播；生态因素可能会影响当地鼠疫耶尔森菌的活性。中国的旱獭鼠疫疫源地仍较为活跃，流行边界不断扩大，对国内外公共卫生造成潜在威胁（图1）。



监测的重点区域包括青海省、甘肃省、西藏自治区、四川省和新疆维吾尔自治区。

A）喜马拉雅旱獭是本研究重点关注的主要旱獭种。摄影：Xin Wang

B）从重点地区的人类、动物宿主和昆虫媒介（主要为多裂卡萝虱和西兰蒂伊蚤）收集到的鼠疫杆菌分离株数量。

图1　1950－2019年中国青藏高原喜马拉雅旱獭鼠疫重点地区的鼠疫生态学和鼠疫耶尔森菌监测情况

P2554　美国疾病暴发相关的新型食物载体// Hilary K. Whitham, Preethi Sundararaman, Daniel Dewey-Mattia, et al

由于病原体的进化和消费趋势的改变，可能会出现与疾病暴发相关的新型食物载体（即与过去疾病暴发无关的食物）。为了查出这些食物，我们查看了疾病预防与控制中心食源性疾病暴发监测系统的数据，从中找到 14 216 起与食物有关的暴发案例。我们将 2007－2016 年和 1973－2006 年的食物相关暴发案例进行了对比，确定了 28 种新型食物载体，其中最常见的种类是鱼、坚果、水果和蔬菜，并且三分之一是进口食品。与其他疾病暴发相比，新型食物载体相关的疾病暴发更易波及多个州和食物召回，并且病例数、住院和死亡的人数上更多。2/3 新型食物购买后不需要烹饪即可食用。针对新型食物的预防工作不能仅靠教育消费者，还需要企业采取预防措施。

P2570　法国 2017 年人类胎儿中致命牛痘病毒感染// Audrey Ferrier, Gaelle Frenois-Veyrat, Evelyne Schvoerer, et al

牛痘病毒（CPXV）具有动物宿主，通常经由接触受感染动物传播给人类。2017 年，一名法国孕妇由于感染了 CPXV 导致腹中胎儿死亡。曾有母体接种正痘病毒（天花）疫苗后胎儿死亡的报道，但这名孕妇并未接种该疫苗。调查显示，CPXV 并未在患者的家养动物中感染流行。通过对所有胎儿和母体的活检样本中检测 CPXV DNA 确诊患者，且在活检中检出了感染性 CPVX，而血浆样本中并未检出。这起胎儿死亡病例凸显了孕期正痘病毒感染并发症的风险。正痘病毒中，天花病毒和痘苗病毒曾被报道引起胎儿死亡；我们的研究结果表明，CPXV 的感染并发症有着与痘苗病毒相同的威胁。

P2588　冠状病毒病大流行期间住院患者的血流感染风险、发病率和死亡// Bhavarth S. Shukla, Prem R. Warde, Eric Knott, et al

医院获得性感染是新型冠状病毒肺炎（COVID-19）大流行期间重要的并发状况。我们针对 2020 年 3 月至 10 月期间经逆转录 PCR 测出的新型冠状病毒肺炎成年患者住院情况进行了回顾性研究。我们通过调整相关协变量的 Logistic 回归和竞争风险回归，评估 COVID-19 诊断和实验室确诊血流感染风险（LCBI，主要结果）、LCBI 时间和死亡风险间的关联。共有 10 848 名患者被纳入分析：918 人（8.5％）被诊断为 COVID-19，232 人（2.1％）住院期间患有 LCBI。这些病人中有 58 人（25％）被归类为与中心静脉导管相关的血流感染。调整协变量后，COVID-19 阳性状态与更高的 LCBI 和死亡风险相关。应加强 COVID-19 病房的感染控制，并可能需要根据国家医疗安全网络标准重新审核优劣排序法。

P2619　高致病性禽流感 A（H5N6/H5N8）病毒分支 2.3.4.4 的风险评估// Christine H.T. Bui, 1 Denise I. T. Kuok, Hin Wo Yeung, et al

鸟类中高致病性禽流感（HPAI）A（H5N6/H5N8）病毒分支 2.3.4.4 的全球性暴发和持续重组严重威胁公众健康。我们研究了人类呼吸道类器官和原代人类肺泡上皮细胞中最新的 5 个 HPAI A（H5N6/H5N8）禽类分离株分支 2.3.4.4b、e、和 h 的趋向性和先天性宿主反应。HPAI A（H5N6/H5N8）禽类分离株在两种模型或任一模型中均能高效复制，但能力低于 A 型流感（H1N1）pdm09、HPAI A（H5N1）和 HPAI A（H5N6）人类分离株。它们在人类呼吸道类器官中表现出不同的细胞趋向性；有些可感染所有 4 种主要的上皮细胞类型：纤毛细胞、棒状细胞、杯状细胞和基底细胞。我们的研究结果表明，禽类 HPAI A（H5N6/H5N8）分离株具有人畜共患病潜力，但传播力低。这些病毒可诱导低水平的促炎细胞因子/趋化因子，但不太可能促成严重疾病的发病。

P2638　淋巴细胞性脉络丛脑膜炎病毒在欧洲中部的地理分布与进化的新视角// Alena Fornůsková, Zuzana Hiadlovská, Miloš Macholán, et al

淋巴细胞性脉络丛脑膜炎病毒（LCMV）是一种旧大世界的乳腺病毒，因其与家鼠有关而在世界范围内被发现。当 LCMV 波及具有免疫能力的人类时，该病毒可导致无菌性脑膜炎；在免疫功能低下的人中，可能发生全身感染和死亡。欧洲中部是研究 LCMV 进化历史和宿主特异性的重要地点，因为家鼠的两个亚种 *Musmusculus musculus* 和 *M. musculus domesticus* 之间存在一个杂交区（遗传屏障）。我们报告了来自捷克－德国自然鼠群的 LCMV 流行情况，并对来自捷克共和国的 2 个新的 LCMV 变种进行了基因组特征分析。我们的研究证明了 LCMV 系统发育树的主要分支对应于小鼠宿主亚种，当病毒在人类宿主中发现时，小鼠亚种位于溢出位置。因此，可以通过家鼠的遗传结构预测感染人类的 LCMV 毒株。

（福建省疾病预防控制中心　陈　堃　译）

ISSN 1002-2694　CN 35-1284/R　邮发代号：34-46　国内定价：30.00元